

การส่งประจำยังจากผลิตโดยเดี่ยวไม่โอลิเดต์ (แทกเดี่ยม) ผ่านเรือนไทยแสง



นายธีรพงษ์ ประทุมศิริ

สถาบันวิทยบริการ

วิทยานิพนธ์นี้ เป็นส่วนหนึ่งของการศึกษาตามหลักสูตรปริญญาวิศวกรรมศาสตรมหาบัณฑิต

สาขาวิชานิวเคลียร์เทคโนโลยี ภาควิชานิวเคลียร์เทคโนโลยี

บัณฑิตวิทยาลัย จุฬาลงกรณ์มหาวิทยาลัย

ปีการศึกษา 2540

ISBN 974-589-718-3

ติดต่อที่ช่องบันทึกวิทยาลัย จุฬาลงกรณ์มหาวิทยาลัย

**TRANSMISSION OF SCINTILLATING LIGHT FROM NaI (Tl) CRYSTAL VIA
FIBER OPTICS**

MR. TEERAPONG PRATUMSIRI

**A Thesis Submitted in Partial Fulfillment of the Requirements
for the Degree of Master of Engineering in Nuclear Technology
Department of Nuclear Technology**

Graduate School

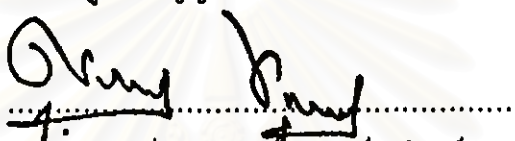
Chulalongkorn University

Academic Year 1997

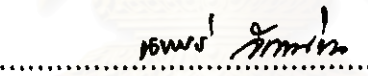
ISBN 974-589-718-3

หัวข้อวิทยานิพนธ์	การส่งประจำทางจากหลักไฮเดรนไนโตรไนท์ (เทกลีบ)
ผู้อ่านเส้นใยแสง	
โดย	นายธีรพงษ์ ประทุมศิริ
ภาควิชา	นิวเคลียร์เทคโนโลยี
อาจารย์ที่ปรึกษา	ผู้ช่วยศาสตราจารย์ สุวิทย์ ปุณณชัยยะ
อาจารย์ที่ปรึกษาร่วม	ผู้ช่วยศาสตราจารย์ ดร.ทับทิม อ่างแก้ว

บัณฑิตวิทยาลัย มหาวิทยาลัยราชภัฏเชียงใหม่ อนุมัติให้นับวิทยานิพนธ์ฉบับนี้ เป็นส่วนหนึ่งของการศึกษาตามหลักสูตรปริญญาบัณฑิต

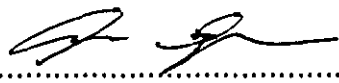

กัณบดีบัณฑิตวิทยาลัย
(ศาสตราจารย์ นายแพทย์กฤษณะ ฉุดวงศ์)

คณะกรรมการสอบวิทยานิพนธ์


ประธานกรรมการ
(ผู้ช่วยศาสตราจารย์ เรศร์ จันทน์ขาว)


อาจารย์ที่ปรึกษา
(ผู้ช่วยศาสตราจารย์ สุวิทย์ ปุณณชัยยะ)


อาจารย์ที่ปรึกษาร่วม
(ผู้ช่วยศาสตราจารย์ ดร.ทับทิม อ่างแก้ว)


กรรมการ
(อาจารย์ อรรถพร กัทรสมันต์)

**ชิรพงษ์ ประทุมศิริ : การส่งประกายแสงจากผลึกโซเดียมไนโตรไอดีต (แทลเลียม) ผ่านเส้นใยแสง
(TRANSMISSION OF SCINTILLATING LIGHT FROM NaI(Tl) CRYSTAL VIA FIBER
OPTICS)**

อ.ที่ปรึกษา : พศ.สุวิทย์ ปุณณัชัยยะ, อ.ที่ปรึกษาร่วม : พศ.ดร.ทับทิม ย่างแท้ว 111 หน้า

ISBN 974-589-718-3

การใช้หัววัดชนิดเลเซอร์วัดรังสีในบริเวณที่มีสถานะแม่เหล็กความเข้มสูง ถูกกฎหมาย และมีการสั่นสะเทือนค่อนข้างมาก มีความจำเป็นต้องป้องกันหลอดทวีคูณอิเล็กตรอนให้พ้นจากสิ่งรบกวนเหล่านี้ซึ่งมีผลกระทบต่อความคลาดเคลื่อนของสัญญาณพัลส์อย่างรุนแรง วิธีหนึ่งที่ช่วยแก้ปัญหานี้ได้คือ การแยกหัววัดรังสีให้ออฟในบริเวณวัดรังสี และส่งเฉพาะประกายแสงจากการวัดรังสีของผลึกผ่านอุปกรณ์นำแสงมายังโฟโตโอดิโอดของหลอดทวีคูณอิเล็กตรอนที่ติดตั้งในบริเวณเหมาะสม อย่างไรก็ตาม เนื่องจากประกายแสงของผลึกวัดรังสีในครุภัณฑ์ไอลายด์ (Alkalide halide) ได้แก่ NaI(Tl) และ CsI(Na) เป็นคัน มีความยาวคลื่นสั้นมากในช่วงรังสีเหนือม่วง (350-480 nm) และมีความเข้มแสงต่ำมาก การส่งประกายแสงจะต้องออกแบบระบบนำแสงที่มีการสูญเสียความเข้มแสงในช่วงคลื่นนี้ให้น้อยมาก

งานวิจัยนี้ได้ทำการทดลองส่งประกายแสงจากผลึกวัด NaI(Tl) ขนาด 1x1 นิ้ว ไปยังหลอดทวีคูณอิเล็กตรอน ขนาดเส้นผ่าศูนย์กลาง 2 นิ้ว โดยจัดรูปแบบระบบไว้ 4 แบบ แต่ให้ผลการทดลองเป็นที่น่าพอใจ 2 รูปแบบคือ 1.) การส่งประกายแสงผ่านเส้นใยแสงชนิดของเหลวเส้นเดียวที่มีขนาดเส้นผ่าศูนย์กลางแกนนำแสง 5 มิลลิเมตรแบบเชื่อมต่อตรงค้านป้ายทั้งสองค้าน ให้ความสามารถในการส่งประกายแสงได้ใกล้กว่า 3 เมตร สำหรับการวัดรังสีแบบนั้นรวม 2.) การส่งประกายแสงผ่านเส้นใยแสงชนิดของเหลวแบบบัดกรमกัน 5 เส้น เพื่อเพิ่มพื้นที่ส่งประกายแสงที่ความยาว 1.5 เมตร พบว่าเริ่มให้ความสามารถในการแยกแสงออกจากงานของระบบวัดที่ 662 keV ของ Cs-137 โดยมีประสิทธิภาพการนับรังสีที่พีคพัฒนา 35 เปอร์เซ็นต์ เมื่อเปรียบเทียบกับการส่งประกายแสงตรงระหว่างผลึกวัดรังสีและหลอดทวีคูณอิเล็กตรอน ซึ่งมีพื้นที่ส่งประกายแสงเท่ากับพื้นที่แกนนำแสงของเส้นใยแสงและใช้อัตราขยายสัญญาณต่างกัน 5.5 เท่า ระบบส่งประกายแสงที่พัฒนาขึ้นนี้ช่วยให้มีความยืดหยุ่นในการเกลื่อนไขวงของหลอดทวีคูณ ใช้งานรวมทั้งป้องกันหลอดทวีคูณอิเล็กตรอนจากสิ่งรบกวนที่รุนแรงและส่งประกายแสงได้ระาะะใกล้

ภาควิชา นิวเคลียร์เทคโนโลยี
สาขาวิชา นิวเคลียร์เทคโนโลยี
ปีการศึกษา 2540

ลายมือชื่อนิสิต
ลายมือชื่ออาจารย์ที่ปรึกษา
ลายมือชื่ออาจารย์ที่ปรึกษาร่วม

C718896 : MAJOR NUCLEAR TECHNOLOGY

KEY WORD:

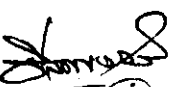
TRANSMISSION OF SCINTILLATING / NaI(Tl) CRYSTAL / SCINTILLATION DETECTOR / UV LIGHT / FIBER OPTICS.

TEERAPONG PRATUMSIRI : TRANSMISSION OF SCINTILLATING LIGHT FROM NaI(Tl) CRYSTAL VIA FIBER OPTICS. THESIS ADVISOR: ASSIST. PROF. SUVIT PUNNACHAIYA, THESIS CO-ADVISOR : ASSIST. PROF. TAPTIM ANGKAEW, Ph.D. 111 pp. ISBN 974-589-718-3

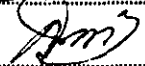
The use of scintillation detector in the vicinity of intense magnetic field, high temperature and moderately high vibration, requires that the photomultiplier tube be protected and isolated from these disturbances which can greatly affect its pulse signals. One method of solving this problem is to separate the detector in the radiation area and only transmit scintillating light through light medium to photocathode of the photomultiplier tube located away from the radiation detection area. However, the wavelength of scintillating light originated within the alkali halide scintillation crystal (NaI(Tl), Cs(Na)) is in the ultraviolet range (350-480 nm) with extremely low intensity. Thus, the transmission of scintillation light via light guide must be designed with minimal loss in its intensity.

This research tested different set up configurations of the transmission of scintillating light from a 1" x 1" NaI(Tl) crystal to a photomultiplier tube with a 2" diameter photocathode. A total of 4 arrangements were tested and only 2 configurations were found to provide us with satisfactorily result. 1.) The transmission of scintillating light through a 5 mm core single liquid light guide directly coupled at both ends using an integral counting mode was capable of transmitting scintillating light greater than 3 m. 2.) A direct transmission of scintillating light via a 1.5 m long bundle of 5 liquid light guides to increase its cross-sectional area, was capable of differentiating energy spectrum at 662 keV of Cs-137 with 35% peak efficiency when compared with direct transmission from scintillation crystal to photomultiplier tube collimated to an area equivalent to that of the liquid light guide with 5.5 times difference in gain setting. The developed transmission system for scintillating light will help add the flexibility into the use of detector, protecting photomultiplier tube from source disturbances capability of transmitting scintillating light at a greater distance.

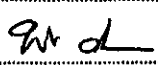
ภาควิชา วิทยาลัยรังสีแพทย์โนนทราย

ลายมือชื่อนิสิต..... 

สาขาวิชา วิทยาลัยรังสีแพทย์โนนทราย

ลายมือชื่ออาจารย์ที่ปรึกษา..... 

ปีการศึกษา 2540

ลายมือชื่ออาจารย์ที่ปรึกษาร่วม..... 



กิตติกรรมประกาศ

ผู้วิจัยของบพรศุณ ผู้ช่วยศาสตราจารย์ สุวิทย์ บุณฑ์ชัยยะและผู้ช่วยศาสตราจารย์ ดร.ทับทิม อ่างแก้ว ที่กรุณาสละเวลาให้ความรู้คำแนะนำ และทำการแก้ไขจนวิทยานิพนธ์ฉบับนี้สำเร็จด้วยดี และขอขอบพระคุณ อาจารย์ เดชา ทองอรุณและอาจารย์ ดร. วิศิษฐ์ หัวปรังษ์พิร ที่ช่วยให้คำแนะนำด้านเทคนิคอันเป็นประโยชน์ต่อการวิจัย วิทยานิพนธ์นี้ สำเร็จได้ด้วยความช่วยเหลือ แนะนำจากเพื่อน น้องๆ ที่ภาควิชานิเวศลิปร์เทคโนโลยี และยังได้รับ การอื้อเพื่อในด้านสถานที่ แต่เครื่องมือจากห้องปฏิบัติการอิเล็กทรอนิกส์ของภาควิชา - นิเวศลิปร์เทคโนโลยี ห้องปฏิบัติการวิจัยระบบไฟฟ้าสื่อสาร ภาควิชาวิศวกรรมไฟฟ้า ที่มีส่วนสำคัญอย่างมากในการทำวิจัยครั้งนี้

อีกทั้งขอขอบพระคุณบัณฑิตวิทยาลัย จุฬาลงกรณ์มหาวิทยาลัย ที่ให้การสนับสนุน ทุนวิจัยครั้งนี้ และขอขอบคุณ คุณจรินทร์ ศรีนาikan ที่เป็นผู้พิมพ์วิทยานิพนธ์ งานสำเร็จถูกดูแลด้วยดี

สถาบันวิทยบริการ
จุฬาลงกรณ์มหาวิทยาลัย

สารบัญ

	หน้า
บทคัดย่อภาษาไทย	๑
บทคัดย่อภาษาอังกฤษ	๒
กิตติกรรมประกาศ	๓
สารบัญตาราง	๔
สารบัญภาพ	๘
บทที่	
1. บทนำ	๑
1.1 ความเป็นมาและความสำคัญของปัจจุบัน	๑
1.2 วัตถุประสงค์	๒
1.3 ขอบเขตการวิจัย	๒
1.4 ขั้นตอนและวิธีการดำเนินการวิจัย	๒
1.5 ประโยชน์ที่คาดว่าจะได้รับ	๓
2. ทฤษฎี	๔
2.1 หัวครองสืบเชื่อมตอกเดชัน	๔
2.2 หลอดทวีภูมิเส็กตรอน	๑๔
2.3 การส่งประกายแสงย่านรังสีเหนือม่วง	๒๕
2.4 อุปกรณ์ในการส่งผ่านแสง	๒๘
3. การพัฒนาอุปกรณ์ที่ใช้ในการทดลอง	๔๔
3.1 แนวทางในการส่งประกายแสงจากหลักวัสดุรังสีผ่านเส้นใยแสง	๔๔
3.2 อุปกรณ์ทดลองผลการสูญเสียความเข้มประกายแสงในอากาศ	๔๘
3.3 อุปกรณ์ทดลองผลการสูญเสียความเข้มแสงในวัสดุ	๔๙
3.4 อุปกรณ์วัดการสูญเสียความเข้มแสงในเส้นใยแสง	๕๑
3.5 การออกแบบระบบส่งประกายแสงจากหลักวัสดุรังสี NaI(Tl) ระยะไกล	๕๒
4. ผลการทดลอง	๕๖
4.1 การทดลองผลการสูญเสียความเข้มประกายแสงในอากาศ	๕๖
4.2 การทดลองผลการสูญเสียความเข้มประกายแสงในตัวกลางบางชนิด	๖๑
4.3 การทดลองผลการสูญเสียความเข้มแสงย่าน UV ในเส้นใยแสง	๖๖
4.4 การทดลองระบบส่งประกายแสงจากหลักวัสดุ NaI(Tl) ระยะไกล	๗๔

สารบัญ (ต่อ)

บทที่

หน้า

5. สรุปผลการวิจัยและข้อเสนอแนะ	81
5.1 สรุปผลการวิจัย	81
5.2 ข้อเสนอแนะ	86
รายการอ้างอิง	87
ภาคผนวก	88
ก. Reference guide of light	89
ข. Optical fibers and cables	91
ค. Light guide lenses	98
ด. Fused silica lenses	100
ᴇ. Fiber optic plate	107
ประวัติผู้เขียน	111

สถาบันวิทยบริการ จุฬาลงกรณ์มหาวิทยาลัย

สารบัญตาราง

ตารางที่	หน้า
2.1 คุณสมบัติของชิ้นทิลเลเตอร์ชนิดสารอนินทรีช	13
2.2 คุณลักษณะของหลอดทวีคูณอิเล็กตรอน	19
2.3 การแบ่งช่วงช่วงคลื่นรังสีเหนือนิ่มกว่าง	26
2.4 แสดงชนิดของสารที่ทำ core, cladding และค่า N.A.	32
4.1 ผลการสูญเสียความเข้มประกายแสง เมื่อระยะผลึก NaI(Tl) ห่างจาก หลอดทวีคูณอิเล็กตรอนและเมื่อแทนที่ด้วยก้าชีลีบัน	58
4.2 ผลการสูญเสียความเข้มประกายแสง เมื่อความหนาของแผ่นแก้วกระเจก เพิ่มขึ้น	62
4.3 ผลการสูญเสียความเข้มประกายแสง เมื่อเพิ่มความหนาของแผ่นอะคริลิก.....	64
4.4 ผลการทดลองอัตราสูญเสียความเข้มแสง เมื่อเพิ่มความยาวเส้นใยแสง ชนิดของเหลวที่ความยาวต่างๆ และ glass single fiber bundle ที่ระยะ 1 เมตร.....	68
4.5 ผลการวัดการส่งประกายแสงของเส้นใยแสงชนิดของเหลว	72
4.6 การเพิ่มความเข้มประกายแสง liquid light guide มีความกว้าง 5 เส้น	78

สถาบันวิทยบริการ
จุฬาลงกรณ์มหาวิทยาลัย

สารบัญภาพ

ข้อที่		หน้า
2.1	โครงสร้างของหัววัดรังสีชนิดซินทิโลเกชัน	4
2.2	แสดงแบบพลังงานของสารซินทิโลเกตอร์กับการรวมแสง	6
2.3	การเกิดสัญญาณพัลส์ของหัววัดรังสีชนิดซินทิโลเกชัน	7
2.4	แสดงสัญญาณพัลส์ของหัววัดรังสีชนิดซินทิโลเกชัน	7
2.5	แผนภาพแบบพลังงานของอิเล็กตรอนในผลึกอนินทรีย์	10
2.6	ผลึกวัสดุเดี่ยวไอโอดีค์ (แก้วเลียน) แบบต่างๆ	12
2.7	เส้นกราฟความสัมพันธ์ของอุณหภูมิ และความเข้มแสงของผลึกวัสดุรังสี	14
2.8	โครงสร้างของหลอดทวีคูณอิเล็กตรอน	15
2.9	รูปแบบของการจัดชุดไดโนดในหลอดทวีคูณอิเล็กตรอน	16
2.10	เส้นกราฟการตอบสนองช่วงคลื่นของ PMT และช่วงคลื่นของประกายแสง จากผลึกซินทิโลเกตอร์	17
2.11	การจัดวงจรฐานหลอดทวีคูณอิเล็กตรอนซึ่งให้สัญญาณรูปพัลส์	20
2.12	การจัดวงจรฐานหลอดทวีคูณอิเล็กตรอนสำหรับการวัดสัญญาณต่อเนื่อง.....	21
2.13	เส้นกราฟแสดงผลการรับกวนของสนามแม่เหล็กด้วยการทำงานของ PMT.....	24
2.14	แผนภาพสามเหลี่ยมรังสีเหนือม้วง	25
2.15	แผนภาพการส่งผ่านประกายแสง	26
2.16	ท่อน้ำแสงชนิดต่างๆ	27
2.17	โครงสร้างพื้นฐานของเส้นไขดันนีหักเหของแสง	28
2.18	การสะท้อนและการหักเหของแสงที่พื้นผิวดามกกฎของสเนลล์	29
2.19	แผนภาพการแสดงการสะท้อนของแสง เมื่อรังสีที่ตอกกระหบ $\geq \theta_c$	30
2.20	ภาพตัดขวางของร่องแสงในท่อน้ำแสงและ การบีบถ่านแสงเข้าท่อน้ำแสง ตามกฎของสเนลล์	31
2.21	ตั้งค่า “mode” ของเส้นไขแสง	33
2.22	โครงสร้างของเส้นไขแสงคัชชัน habitats ใหม่	34
2.23	แสดงการส่งคลื่นแสงผ่านเส้นไขแสงแบบมัด	35

สารบัญภาพ (ต่อ)

ขั้นที่	หน้า
2.24 แสดงภาพและเส้นกราฟการตอบสนองคลื่นแสงของเส้นใยแสงชนิด Random หรือ Incoherent fiber bundles	37
2.25 โครงสร้างของ liquid light guide	38
2.26 เส้นกราฟการส่งผ่านประกายแสงชนิด liquid light guide	39
2.27 โครงสร้างของเส้นใยแสงชนิดสายเดียว (single fiber)	39
2.28 ระบบไฟก๊อกของเลนส์ปุ่น และเลนส์เว้า	40
2.29 เลนส์ปุ่นแบบหน้าเดียว และสองหน้า ชนิดพิวต์ซิลิกา	42
2.30 เลนส์เว้าแบบหน้าเดียว และสองหน้า ชนิดพิวต์ซิลิกา	42
2.31 เลนส์ทรงกลม	43
3.1 แผนภาพการจัดอุปกรณ์ส่งประกายแสง	44
3.2 อุปกรณ์หลักในการพัฒนาระบบส่งประกายแสงระยะไกล	46
3.3 เส้นใยแสงที่ใช้ในการทดลอง	47
3.4 อุปกรณ์สำหรับการทดลองผลการสูญเสียความเข้มประกายแสง ในอากาศ	48
3.5 อุปกรณ์สำหรับทดลองผลการสูญเสียความเข้มแสงในวัสดุ	49
3.6 อุปกรณ์ประกอบการทดลองผลการสูญเสียความเข้มแสง	50
3.7 แผนภาพการจัดอุปกรณ์วัดการสูญเสียความเข้มแสง	51
3.8 อุปกรณ์การวัดการสูญเสียความเข้มแสงในเส้นใยแสง	51
3.9 แผนภาพระบบส่งประกายแสงระยะไกลด้วยเลนส์	52
3.10 แผนภาพระบบส่งประกายแสงระยะไกลด้วยเส้นใยแสงโดยตรง	53
3.11 แผนภาพระบบส่งประกายแสงระยะไกลด้วยเส้นใยแสงร่วนกับท่อน้ำแสง...	53
3.12 แผนภาพระบบส่งประกายแสง ผ่านมัลติเส้นใยแสง	54
3.13 ภาพถ่ายของมัลติเส้นใยแสงชนิดของเหตุการณ์แสง	54
3.14 ชุดอุปกรณ์ทดลองการสูญเสียความเข้มประกายแสง	55
3.15 ชุดอุปกรณ์ทดลองการส่งประกายแสงระยะไกลด้วยเส้นใยแสง.....	55
4.1 แผนภาพอุปกรณ์ทดลองผลการสูญเสียความเข้มประกายแสงในอากาศ.....	56

สารบัญภาพ (ต่อ)

รูปที่

หน้า

4.2 ก. เส้นกราฟแสดงผลการสูญเสียความเข้มประกายแสงเมื่อระยะผลีก NaI(Tl) ห่างจาก PMT	58
4.2 ข. เส้นกราฟแสดงการสูญเสียประสิทธิภาพการวัดรังสีที่ต่ำแห่งพีคพังงาน 58	
4.3 สเปกตรัมของ Cs-137 แสดงความสัมพันธ์ของความเข้มประกายแสง เมื่อระยะผลีก NaI(Tl) และ PMT เปลี่ยนไป พิจารณาจากช่องวิเคราะห์ พังงาน	59
4.4 สเปกตรัมของ Cs-137 แสดงความสัมพันธ์ของความเข้มประกายแสง เมื่อผลีก NaI(Tl) ห่างจาก PMT ที่ 1 cm. และ 5 cm. ขณะได้รับภาพ ออกด้วยก้าชีเดิน และปั๊ดอยให้มีภาพอยู่ พิจารณาจากพีคที่ ต่ำแห่งช่องวิเคราะห์พังงาน	60
4.5 แผนภาพการจัดอุปกรณ์ทดสอบผลการสูญเสียความเข้มประกายแสง และในตัวถุง	61
4.6 ก. เส้นกราฟแสดงการสูญเสียความเข้มประกายแสง เมื่อความหนาของแก้ว กระเจกเพิ่มขึ้น	62
4.6 ข. เส้นกราฟแสดงการสูญเสียประสิทธิภาพการวัดรังสีที่ต่ำแห่งพีคพังงาน 62	
4.7 สเปกตรัมของ Cs-137 แสดงความสัมพันธ์การสูญเสียความเข้มประกายแสง และความหนาแก้วกระเจก พิจารณาจากต่ำแห่งพีคที่ช่องวิเคราะห์ พังงาน.....	63
4.8 ก. เส้นกราฟแสดงการสูญเสียความเข้มประกายแสงเมื่อความหนาของแผ่น อะคริลิกเพิ่มขึ้น	64
4.8 ข. เส้นกราฟแสดงการสูญเสียประสิทธิภาพการวัดรังสีที่ต่ำแห่งพีคพังงาน 64	
4.9 สเปกตรัมของ Cs-137 แสดงความสัมพันธ์ของความเข้มประกายแสง และความหนาของแผ่นอะคริลิก พิจารณาจากต่ำแห่งช่วงวิเคราะห์ พังงาน	65
4.10 การทดสอบเพื่อหาอัตราการสูญเสียความเข้มแสงช่วงคลื่นอุตตราไวโอเลต ...	67

สารบัญภาพ (ต่อ)

ขบวน	หน้า
4.11 ภาพแสดงอัตราการสูญเสียความเข้มแสงของเส้นใยแสงชนิดของเหตุ...	68
4.12 แผนภาพการจัดอุปกรณ์วัดการสูญเสียความเข้มประกายแสงในเส้นใยแสง...	69
4.13 สถาปัตยกรรมของ Cs-137 เมื่อส่งประกายแสงตรงและผ่านเส้นใยแสงชนิด glass single fiber bundle	71
4.14 เส้นกราฟแสดงการสูญเสียความเข้มในเส้นใยแสงชนิดของเหตุที่ความยาว ต่างๆ	72
4.15 สถาปัตยกรรม Cs-137 เมื่อส่งประกายแสงตรงและผ่านเส้นใยแสงชนิด ของเหตุ.....	73
4.16 แผนภาพระบบส่งประกายแสงระยะไกลผ่านเส้นใยแสงด้วยวิธีใช้อุปกรณ์ นำแสงช่วย	75
4.17 สถาปัตยกรรม Cs-137 เปรียบเทียบระหว่างการส่งประกายแสงผ่าน และไม่ผ่านอุปกรณ์ช่วยนำแสง	76
4.18 แผนภาพระบบส่งประกายแสงระยะไกลผ่านเส้นใยแสงชนิดของเหตุ โดยการเพิ่มพื้นที่รับแสงด้วยการมัดเส้นใยแสงรวมกัน	77
4.19 เส้นกราฟแสดงการเพิ่มความเข้มแสงจากระบบส่งประกายแสงจากผลลัพธ์วัด รังสีระยะไกลผ่านเส้นใยแสงชนิดของเหตุด้วยการเพิ่มพื้นที่รับแสง	78
4.20 สถาปัตยกรรม Cs-137 จากระบบส่งประกายแสงจากผลลัพธ์วัดรังสีระยะไกล ผ่านเส้นใยแสงชนิดของเหตุแบบมัดรวมกัน 5 เส้น.....	79
4.21 สถาปัตยกรรม Cs-137 จากระบบส่งประกายแสง จากผลลัพธ์วัดระยะไกลผ่าน เส้นใยแสงชนิดผลลัพธ์เหตุ 1 เส้น และ 5 เส้น เปรียบเทียบการส่ง ประกายแสง	81
5.1 แผนภาพการสูญเสียประกายแสงผ่านตัวกลาง	83
5.2 ภาพเปรียบเทียบสถาปัตยกรรม Cs-137 การส่งประกายแสงผ่านเส้นใยแสง ชนิดต่างๆ	86
5.3 เส้นใยนำแสงแบบ multimode	86